

تجزیه و تحلیل پیوستگی ژنتیکی لوکوس‌های DFN40 و DFN48 در خانواده‌های با ناشنوای غیر سندرمی مغلوب اتوزومی از استان‌های غربی کشور

اعظم پوراحمدیان^۱، محمدامین طباطبایی‌فر^۲، سمیه رئیسی^۳، پریا علی‌پور^۱، نجمه فتاحی^۱، مرتضی هاشم‌زاده چالشتری^{۴*}

مقاله پژوهشی

چکیده

مقدمه: ناشنوای حسی- عصبی، رایج‌ترین ناهنجاری عصبی است که با میانگین ۱ در ۵۰۰ نوزاد رخ می‌دهد. موارد غیر سندرمی، ۷۰ درصد ناشنوای‌ها را شامل می‌شود که ۸۰ درصد موارد، الگوی توارث مغلوب اتوزومی دارند. هدف از انجام مطالعه‌ی حاضر، تجزیه و تحلیل پیوستگی ژنتیکی لوکوس‌های DFN40 و DFN48 به منظور بررسی شیوع آن‌ها در میان خانواده‌های مورد بررسی با ناشنوای غیر سندرمی مغلوب اتوزومی از استان‌های غربی کشور بود.

روش‌ها: در این مطالعه، ۶۰ خانواده با ناشنوای غیر سندرمی مغلوب اتوزومی از سه استان ایران شامل همدان، کهگیلویه و بویراحمد و چهار محال و بختیاری بررسی شدند. خانواده‌های انتخاب شده در این مطالعه، حاصل ازدواج خویشاوندی و دارای حداقل ۲ فرد ناشنوا و از نظر جهش GJB2 منفی بودند.

یافته‌ها: پس از بررسی خانواده‌های مختلف، هیچ یک از خانواده‌های مورد بررسی به لوکوس‌های DFN40 و DFN48 پیوستگی نشان ندادند.

نتیجه‌گیری: بر اساس یافته‌های این مطالعه، احتمال می‌رود لوکوس‌های DFN40 و DFN48 در ایجاد ناشنوای در استان‌های مورد مطالعه، نقش مهمی ندارند؛ اما برای تعیین نقش دقیق تر این لوکوس‌ها در جمیعت ایرانی مطالعات بیشتر ضروری است.

وازگان کلیدی: لوکوس DFN48، لوکوس DFN40، ناشنوای غیر سندرمی مغلوب اتوزومی

ارجاع: پوراحمدیان اعظم، طباطبایی‌فر محمدامین، رئیسی سمیه، علی‌پور پریا، فتاحی نجمه، هاشم‌زاده چالشتری مرتضی. تجزیه و تحلیل پیوستگی ژنتیکی لوکوس‌های DFN40 و DFN48 در خانواده‌های با ناشنوای غیر سندرمی مغلوب اتوزومی از استان‌های غربی کشور. مجله دانشکده پزشکی اصفهان ۱۳۹۵؛ ۳۴ (۳۷۴) : ۲۱۴-۲۲۰.

ناشنوای، دارای طیف وسیعی از تظاهرات بالینی شامل مادرزادی، دیررس، هدایتی، حسی، عصبی، سندرمی یا غیر سندرمی می‌باشد. سبب‌شناسی ناشنوای چند عاملی است و شامل دلایل ژنتیک، محیطی و گاهی هر دو می‌باشد که بیش از ۶۰ درصد موارد ژنتیک است (۱). تخمین‌ها حاکی از آن است که ممکن است تا ۱ درصد زن‌های انسان به نحوی در فرایند شنوای دخیل باشند (۲). ناشنوای ژنتیک، به دو صورت سندرمی و یا غیر سندرمی دیده می‌شود (۳). تحقیقات در مورد الگوی توارثی ناشنوای‌های ارشی غیر سندرمی نشان داده است که حدود ۷۵-۸۵ درصد از آن‌ها الگوی مغلوب

مقدمه

ناشنوای، یک ناهنجاری حسی- عصبی است که طبق ارزیابی‌های انجام شده، ۷۰ میلیون نفر در سرتاسر جهان از آن رنج می‌برند. این مشکل جزء بیشترین ناهنجاری‌های موجود در هنگام تولد است که با میانگین ۱ در ۱۰۰۰ نوزاد رخ می‌دهد (۱). تشخیص دیر هنگام و یا عدم تشخیص ناشنوای، می‌تواند اثرات عمیقی بر روی قابلیت‌های ارتباطی و زبانی و همچنین تکوین ارتباط روانی-اجتماعی یک کودک داشته باشد. تأخیر در تشخیص، ممکن است سبب انزوا و کناره‌گیری کودک در آینده شود (۲).

- دانشجوی کارشناسی ارشد، مرکز تحقیقات سلوی و مولکولی، دانشگاه علوم پزشکی شهرکرد، شهرکرد، ایران
- استادیار، گروه ژنتیک و بیولوژی مولکولی، دانشکده پزشکی، دانشگاه علوم پزشکی اصفهان، اصفهان، ایران
- استادیار، گروه ژنتیک، دانشکده علوم پزشکی شهرکرد، شهرکرد، ایران
- استاد، مرکز تحقیقات سلوی و مولکولی و دانشکده پزشکی، دانشگاه علوم پزشکی شهرکرد، شهرکرد، ایران

Email: mchalesh@yahoo.com

نویسنده‌ی مسؤول: مرتضی هاشم‌زاده چالشتری

ARSNHL از طریق تجزیه و تحلیل پیوستگی ژنتیک کشف شد. این لوكوس، بر روی 22q11.2 واقع می‌باشد. محدوده‌ی این لوكوس بیش از ۸۰ زن دارد و با محدوده‌ی درگیر در سندروم‌هایی که ناشناختی یکی از ویژگی آنها می‌باشد، همپوشانی دارد. این سندروم‌ها، شامل سندروم چشم گربه (Cat eye syndrome) یا CES و سندروم دی جرج (DiGeorge syndrome) می‌باشند (۱۱). ژن مسؤول این بیماری، هنوز ناشناخته است.

لوكوس DFN48 در سال ۲۰۰۵ با تجزیه و تحلیل پیوستگی ۵ خانواده‌ی پاکستانی خویشاوند دارای ناشناختی غیر سندرومی مغلوب اتوزومی روی کروموزوم 15q23-q25.1 نقشه‌کشی شد (۱۲). ژن CIB2 در لوكوس DFN48 قرار دارد و جهش‌های آن مسؤول ناشناختی غیر سندرومی مغلوب اتوزومی (DFNB48) و سندروم Ascher می‌باشد. ژن CIB2 شش اگزون دارد که به دلیل پیرایش متناوب، کد کننده‌ی سه ایزوفرم مختلف است. ژن CIB2 یک پروتئین از خانواده‌ی پروتئین‌های متصل شونده به ایتگرین و کلسیم را کد می‌کند. در اثر اتصال به کلسیم، کونفورماتیون CIB2 تغییر می‌یابد و پیامرسانی کلسیم درون سلولی را میانجی‌گری می‌کند. ژن CIB2 در هموستاز کلسیم نقش حفاظت شده و در پیامرسانی کلسیم دخالت دارد.

همچنین، پیشنهاد شده است که CIB2 برای هدایت و انتقال مناسب نوری و جلوگیری از تخریب وابسته به نور شبکیه ضروری است. فقدان CIB2 باعث نقص در تنظیم کلسیم می‌شود که خود می‌تواند منجر به نقص در هدایت و انتقال مکانیکی - الکتریکی در گوش و نقص در گیرنده‌های نوری در چشم شود (۱۳).

پژوهش حاضر با هدف بررسی شیوع دو لوكوس DFN48 و DFN40 با استفاده از راهبرد تجزیه و تحلیل پیوستگی ژنتیکی در خانواده‌هایی که برای جهش در ژن GJB2 منفی بودند، صورت گرفت.

روش‌ها

در این مطالعه Case series ۶۰ خانواده‌ی مبتلا به ARNSHL که دارای حداقل دو بیمار، والدین سالم و ازدواج خویشاوندی بودند، از استان‌های چهار محل و بختیاری، کهگیلویه و بویراحمد و همدان انتخاب شدند. نمونه‌گیری خون این افراد، توسط مرکز تحقیقات سلولی و مولکولی دانشگاه علوم پزشکی شهرکرد پس از تکمیل پرسشنامه و ارزیابی‌های بالینی و پس از اخذ رضایت‌نامه‌ی کتبی از کلیه‌ی افراد شجره‌نامه انجام شد؛ به گونه‌ای که از هر فرد، به میزان ۵ میلی‌لیتر خون گرفته شد و با روش فنل کلروفرم DNA ژنومی به صورت استاندارد استخراج و از نظر کمی با دستگاه نانودرایپ بررسی شده بود (۱۴). تنها خانواده‌های قادر جهش در ژن GJB2 در این مطالعه وارد شدند.

اتوزومی، ۱۵-۲۴ درصد آن‌ها الگوی غالب اتوزومی و ۱-۲ درصد پیوسته به X و حدود ۲ درصد نیز میتوکندریایی می‌باشد (۶). در مجموع، ناشناختی مغلوب به طور معمول شدیدتر از ناشناختی غالب بروز می‌کند؛ چرا که اغلب عمیق، پیش از تکلم و با نفوذ کامل است؛ در حالی که ناشناختی غالب، اغلب پیش رونده، پس از تکلم و از نظر بالینی به شکل ناشناختی یک طرفه یا دو طرفه خفیف است. علاوه بر این، بیماری‌هایی با وراشت مغلوب در جمعیت‌های شایع‌ترند که ازدواج‌های خویشاوندی معمول‌تر است. چنین اثری در موارد مغلوب ناشناختی نیز مشاهده شده است. ناشناختی غیر سندرومی مغلوب اتوزومی (Autosomal recessive non-syndromic hearing loss) یا ARNSHL (شایع‌ترین دلیل ناشناختی ارثی است و اغلب شدیدترین فنوتیپ ناشناختی را نشان می‌دهد) (۷). ناشناختی غیر سندرومی با وراشت مغلوب، حدود ۷۰ لوكوس شناخته شده دارد. بنا بر این، ناشناختی طیف گسترده‌ای از علل ژنتیک، محیطی و ناشناخته دارد که نوع و سهم هر یک از علل در اقوام و جمیعت‌های مختلف متفاوت است. در کشور ما، مطالعات به نسبت کمی بر روی ARNSHL انجام گرفته و بیشتر پژوهش‌ها به یک لوكوس خاص و به طور مشخص DFNB1 که ژن GJB2 (CX26) را در بردارد، معطوف بوده است (۸).

به طور میانگین، در ایران تنها حدود ۱۸/۲۹ درصد موارد ARNSHL به وسیله‌ی ژن GJB2 ایجاد می‌شود (۹). بر اساس نرخ بالای ازدواج خویشاوندی در ایران (۳۸/۶ درصد)، می‌توان پیش‌بینی نمود که در ایران نسبت به جمیعت‌های اروپا و آمریکای شمالی، ARNSHL نسبت بالاتری در میان ناشناختی‌های ژنتیکی غیر سندرومی دارد (۸). بنا بر این، مطالعه‌ی ژنتیک لوكوس‌های اصلی درگیر در ARNSHL به منظور روشن‌سازی نقش هر یک از این لوكوس‌ها در جمیعت کشورمان ضروری به نظر می‌رسد.

در پژوهش حاضر، تجزیه و تحلیل پیوستگی ژنتیکی لوكوس DFN48 و DFN40 در خانواده‌هایی که برای جهش‌های موجود در ژن GJB2 منفی بودند، انجام شد.

تجزیه و تحلیل پیوستگی در واقع بررسی همراهی توارث جایگاه نشانگر با فنوتیپ بیماری است که تحت تأثیر فاصله‌ی بین جایگاه ژن بیماری و نشانگر مربوط قرار می‌گیرد. این روش، نه تنها به عنوان اولین گام برای شناسایی ژن ناشناخته بیماری به روش کلولینگ موقعیتی استفاده می‌شود، بلکه برای ردیابی ژن‌های شناخته شده‌ی مسؤول بیماری در شجره نیز به کار می‌رود. در بیماری‌های هتروژن ژن می‌شود، بلکه برای زیادی ژن‌های بزرگ مسؤول بیماری می‌باشد، تجزیه و تحلیل پیوستگی جهت ردیابی ژن بیماری در هر شجره کمک بسیاری به کاهش هزینه‌ها و زمان خواهد نمود (۱۰). لوكوس DFN40 در سال ۲۰۰۳ در یک خانواده ایرانی با

جدول ۱. نشانگرهای لوکوس DFN40

نام نشانگر	پراپر F (Forward)	پراپر R (Reverse)	محصول	اندازه‌ی (bp)	هتروزیگوستی (درصد)
D22S427	TGCTGTTTGTAGAGTGTAGAC	GTGCCAGCCGTATT	۱۰۲	۶۲	
D22S1144	GCTGAAATTGCCAAGTTTA	GAGCCTCTGGCCTCTGT	۱۹۱	۷۶	
D22S1174	GAATCACTAGGGCCCTCA	TGAGGCTATGTGCCAG	۲۱۶	۷۲	
D22S1154	GCCTAACCTGTGATTGTTCATCTA	TGGCGAATTGATTCTCACCTA	۲۵۹	۷۲	
D22S1140	AGTGTCCCCATCTGAATATG	TCTGGTGTACGCGCAC	۲۲۹	۷۰	
D22S1142	TGAAGATAATAGCAGCGAATACACC	CCTGGCTTGAGACCCTGTA	۱۹۰	۷۷	

مورد نظر در ژن اتصال پیدا کنند و سپس، PCR در دمای واقعی Annealing ادامه می‌یابد. برنامه‌ی حرارتی برای تکثیر نشانگرها به صورت زیر بود: ۹۵ درجه‌ی سانتی‌گراد به مدت ۵ دقیقه برای واسرشت شدن اولیه، ۸ چرخه‌ی Touchdown شامل ۹۵ درجه‌ی DNA سانتی‌گراد به مدت ۳۰ ثانیه برای واسرشت کردن رشته‌های DNA دمای اتصال پراپرمه‌ها از ۵۶–۶۳ درجه‌ی سانتی‌گراد به مدت ۳۰ ثانیه و ۷۲ درجه‌ی سانتی‌گراد به مدت ۳۰ ثانیه و ۲۵ چرخه‌ی بعدی شامل ۹۵ درجه‌ی سانتی‌گراد به مدت ۳۰ ثانیه، اتصال پراپرمه‌ها ۵۵ درجه‌ی سانتی‌گراد به مدت ۳۰ ثانیه و ۷۲ درجه‌ی سانتی‌گراد به مدت ۳۰ ثانیه که با ۵ دقیقه سنتز نهایی در ۷۲ درجه‌ی سانتی‌گراد پایان یافت. در هر واکنش PCR، ۰/۵ میکرولیتر از هر یک از پراپرمه‌ها (۱۰ پیکومولار) (شرکت سازنده TAGC دانمارک، شرکت وارد کننده ژن فن‌آوران ایران)، ۰/۵ میکرولیتر (۱۰ میلی‌مولار) (شرکت سازنده dNTP Deoxy nucleotide triphosphate mix ایران)، ۱ میکرولیتر از ۵۰ میلی‌مولار (شرکت KBC ایران)، ۰/۱ میکرولیتر از MgCl₂ (۱۰ میلی‌مولار) (شرکت سازنده KBC ایران)، ۰/۱ میکرولیتر از آنزیم Taq پلیمراز واحد/میکرولیتر (شرکت سازنده KBC ایران) و ۲ میکرولیتر از ۵ ژنومیک استفاده شد که با آب مقطر به حجم نهایی ۲۵ میکرولیتر رسانده شد.

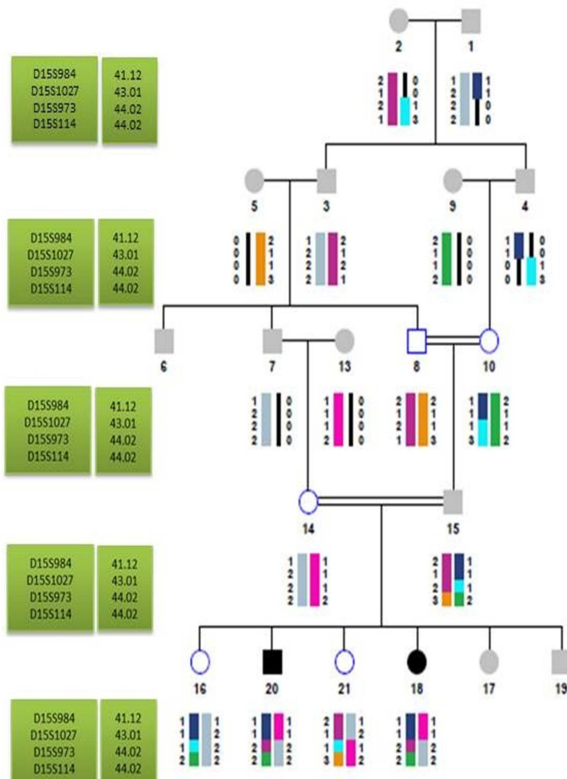
انتخاب نشانگرها، تعیین ژنوتیپ و بررسی پیوستگی ژنتیکی از طریق تجزیه و تحلیل پیوستگی وجود ارتباط بین ناشنوایی و لوکوس DFN48 و DFN40 بررسی شد. انتخاب نشانگرهای STR Short tandem repeat National Center For Biotechnology Information (NCBI Map Viewer) و انتخاب پراپرمه‌ای لازم (NCBI Map Viewer) Map Viewer جهت تکثیر این نشانگرها توسط UniSTS NCBI صورت گرفت. وجود محدوده‌ی تغییرات در طول محصول و هتروزیگوستی بالا و وجود هتروزیگوت بودن پدر و مادر برای یک نشانگر معین، از جمله معیارهای مهم انتخاب نشانگرها در مطالعات پیوستگی ژنتیکی می‌باشد. ویژگی‌های مربوط به نشانگرها لوكوس 40 و DFN48 به ترتیب در جدول‌های ۱ و ۲ ذکر شده است. در صورت معنی‌دار نبودن (Uninformative) نشانگرها در هر یک از خانواده‌های مورد مطالعه از نشانگرهای دیگری در محل لوکوس مورد نظر استفاده شد.

برای تکثیر نشانگرها، از روش PCR (Touchdown polymerase chain reaction) استفاده شد. به این صورت که در چند چرخه‌ی شروع PCR، دمای Annealing از چند درجه بالاتر شروع می‌شود تا پراپرمه‌ها به طور اختصاصی تری به محل Touchdown PCR.

جدول ۲. نشانگرهای لوکوس DFN48

نام نشانگر	پراپر F (Forward)	پراپر R (Reverse)	محصول	اندازه‌ی (bp)	هتروزیگوستی (درصد)
D15S1027	CTGAAAACCAGCCCACTC	GAGTCCTGGAGAGCCC	۱۹۶	۶۶	
D15S984	GCAGACACGCTCGCAT	GAGGCTCGAGGGCAG	۲۲۰	۹۲	
D15S1023	GGTATTGTTTGGACCACATCTTAG	GGGAGGCTGAGACAGTTTC	۲۷۲	۸۶	
D15S973	ATCCACCTGACTCAAGGA	TTCTCCATCAGTAAATTGCG	۲۵۰	۶۷	
D15S114	AGAATGAGCAGCACTGTTG	TTGTCACTGCTTTCTCT	۱۷۷	۷۰	
D15S991	AGCTTGGTACTCTATCAGGGTG	AACTGGCTGGCTCTATTATCTGCG	۱۹۸	۶۲	
D15S1001	TGGGCCTTGTGATTITAG	CATCTGTGTCTGTGACTG	۲۵۹	۵۳	

البته برخی نشانگرها الگوی پیوستگی نشان دادند، اما در نهایت، با رسم هاپلوتایپ همان‌طور که در شکل ۲ دیده می‌شود، الگوی پیوستگی به لوکوس‌های DFN40 و DFN48 تأیید نشد.



شکل ۲. یک هاپلوتایپ مربوط به عدم پیوستگی در یکی از خانواده‌های مورد بررسی. در صورت پیوستگی الگوی هاپلوتایپ بیماران باید به صورت دو آلل یکسان باشد. در این شجره‌نامه بیماران ۱۵، ۱۸ و ۲۰، هاپلوتایپ یکسانی ندارند و پیوستگی به لوکوس **DFNB48** رد می‌شود. نقشه‌ی ژنتیکی نشانگرها بر اساس مارشفلد می‌باشد.

بحث

در این مطالعه، ۶۰ خانواده با حداقل دو فرد ناشناخته از استان‌های همدان، کهگیلویه و بویر احمد و چهار محال و بختیاری، از نظر پیوستگی به لوکوس‌های DFN40 و DFN48 بررسی شدند. هدف از انجام این مطالعه، تعیین شیوع این دو لوکوس در خانواده‌های مورد بررسی بود. در این مطالعه، هیچ یک از خانواده‌ها به لوکوس‌های مورد بررسی پیوستگی نشان ندادند.

لوکوس DFN40، توسط دلمقانی و همکاران با بررسی ۴۰۰ نشانگر با نقشه‌کشی پیوستگی در یک خانواده‌ای ایرانی مبتلا به ناشناخته غیر سندرومی مغلوب اتوژومی کشف شد. سپس، چندین ژن موجود در ناحیه‌ی مورد نظر تعیین توالی شدند.

بعد از تکثیر قطعات مورد نظر به روش PCR، نمونه‌ها بر روی ژل پلی‌آکریل آمید (شرکت سازنده Merck آلمان، شرکت وارد کننده یاهو طب ایران) ۸-۱۲ درصد، با جریان ۴۰ میلی‌آمپر به مدت ۴-۵ ساعت الکتروفورز شد و سپس با نیترات نقره رنگ‌آمیزی و بانده مشاهده گردید. هموزیگوت بودن نشانگرها در افراد بیمار، نشانی وجود پیوستگی می‌باشد و در افراد سالم و آن‌هایی که پیوستگی نشان نمی‌دهند به صورت هتروزیگوت می‌باشد.

برای محاسبه‌ی FastSlink version 2.51 از SLink (برای محاسبه‌ی نمره‌ی LOD score) LOD پارامتری دو نقطه‌ای و چند نقطه‌ای، به ترتیب از Simwalk version 2.91 استفاده شد (۱۵). رسم هاپلوتایپ (مجموعه‌ی ژنوتیپ نشانگرها مجاور) در مورد خانواده‌های Haplainter version 2.95 مشکوک به پیوستگی با استفاده از نرم‌افزار Haplainter استفاده صورت گرفت. این مرحله به منظور تأیید یا رد پیوستگی استفاده می‌شود (۱۶).

یافته‌ها

در صد افراد مورد مطالعه در جمعیت مورد بررسی، ناشناخته دو طرفه‌ی حسی- عصی شدید تا عمیق داشتند. در ۸۵ درصد خانواده‌های مورد بررسی، سه نسل ازدواج خویشاوندی دیده شد و با توجه به داده‌های مرتبط با شجره‌نامه، غیر سندرومی بودن ناشناخته و الگوی توارث مغلوب اتوژومی مورد تأیید بود. ارزش SLINK خانواده‌ها بین ۲-۷ برآورد شده است. در ۶۰ خانواده‌ی مورد مطالعه، پس از بررسی الگوی نشانگرها هر لوکوس و با تکرار دو بار یا بیشتر الکتروفورز بر روی ژل پلی‌آکریل آمید برای خانواده‌های دارای ارزش SLINK بالاتر، پیوستگی رد شد (شکل ۱).



شکل ۱. نتیجه‌ی بررسی تکثیر نشانگر D15S984 بر روی ژل پلی‌آکریل آمید. شماره‌های ۱، ۲ و ۳ هر کدام بیانگر یک آلل است. افراد بیمار، الگوی هتروزیگوت (۱ و ۲ و ۳) را نشان دادند. در صورت پیوستگی، افراد سالم حامل ۳ به صورت هتروزیگوت و تمام افراد بیمار به صورت هموزیگوت می‌باشند.

گزارش شده بود (۱۷)، یک جایگزینی $c.192G>C$ هموزیگوت در ژن CIB2 مشاهده شد که باعث جایگزینی ۶۴ آمین اسید آمینه یعنی گلوتامات به آسپارتات (E64D) در باقی مانده‌ی به شدت حفاظت شده می‌شد. ترانسفکشن جهش در سلول‌های COS-7 توانایی ۲ CIB2 را در کاهش رهاسازی کلسیم القا شده توسط ATP از سلول در مقایسه با نوع وحشی به شدت کاهش داد (۱۳).

به طور خلاصه، در مطالعه‌ی حاضر، هیچ یک از دو لوکوس DFN48 و DFN40 در خانواده‌های مورد بررسی پیوستگی نشان ندادند. با توجه به این که تا کنون در ایران و سایر نقاط جهان درباره‌ی این دو لوکوس مطالعات اندکی صورت گرفته است، بررسی بیشتر این لوکوس‌ها در جمعیت‌هایی با منشأ نژادی و جغرافیایی متفاوت ضروری به نظر می‌رسد تا بتوان نقش این لوکوس‌ها را در ایجاد ناشنوایی تعیین کرد. از آن جایی که ژن مربوط در لوکوس DFN40 تا به امروز شناسایی نشده است، مطالعات بیشتر جهت کشف این ژن نیاز است. از طرف دیگر، با توجه به نقش لوکوس DFN48 در ARNSHL و همچنین در سندرم آشر، این لوکوس می‌تواند گزینه‌ی مناسبی برای پژوهش در هر دو بیماری باشد. چنین مطالعاتی می‌توانند به طور چشمگیری در پیشرفت غربال‌گری ناشنوایی در جمعیت‌های ایرانی و در ادامه‌ی مشاوره‌ی ژنتیک اصولی سهیم باشند.

نتیجه‌گیری نهایی این که احتمال می‌رود لوکوس‌های DFN40 و DFN48 نقش کمی در ایجاد ناشنوایی در جمعیت‌های نواحی بررسی شده داشته باشند و دلیل اصلی ناشنوایی در جمعیت موردن مطالعه، می‌تواند مربوط به سایر لوکوس‌های درگیر در ناشنوایی باشد. با این حال، برای تعیین نقش دقیق‌تر این لوکوس‌ها در کشورمان به مطالعات و تعداد خانواده‌های بیشتری نیاز است.

تشکر و قدردانی

این مقاله برگرفته از نتایج پایان‌نامه‌ی اعظم پوراحمدیان با شماره گرفت ۱۴۹۷ می‌باشد. از معاونت پژوهشی دانشگاه علوم پزشکی شهرکرد، جهت تأمین بودجه و همچنین کارکنان مرکز تحقیقات سلوی و مولکولی دانشگاه علوم پزشکی شهرکرد که ما را در این پژوهش یاری نمودند، کمال تقدیر و تشکر به عمل می‌آید. همچنین، از بیماران ناشنو و خانواده‌های ایشان که در انجام این پژوهش همکاری نمودند قدردانی می‌گردد.

ژن عامل رونویسی TBX1 (ژنی که در سندرم دی‌جرج درگیر است و عامل نقص شناوری در برخی از مبتلایان به این سندرم می‌باشد) در این خانواده بررسی شد؛ در اگرونهای کد کننده‌ی این ژن، جهشی یافت نشد. همچنین، جهش‌های ژن ۶ منطقه‌ی اصلی سندرم دی‌جرج (B1) که در گوش داخلی بیان می‌شود و ژن CRYBB1 (ژن B کریستالین B1) جستجو شدند و در نواحی کد کننده‌ی این ژن‌ها نیز جهشی یافت نشد. همچنین، ۷۴ خانواده‌ی مبتلا به ARSNHL توسط دلمقانی و همکاران تحت تجزیه و تحلیل پیوستگی ژنتیکی لوکوس DFN40 قرار گرفتند که موردنی از پیوستگی در آنان یافت نشد (۱۱).

Riazuddin و همکاران طی مطالعه‌ای، ۴ جهش مختلف در ژن CIB2 یافتند. در ۵۴ خانواده‌ی پاکستانی با ARNSHL، یک جایگزینی $c.272T>C$ هموزیگوت در ژن ۲ CIB2 شناسایی کردند که باعث جایگزینی ۹۱ آمین اسید آمینه یعنی فنیل آلانین به سرین (F91S) در دنباله‌ی آمینواسیدی به شدت حفاظت شده در اولین دامین اتصالی EF-hand می‌شود. در ۲ خانواده‌ی ترکیه‌ای با ARNSHL، یک جایگزینی G $c.297C>G$ هموزیگوت در ژن CIB2 شناسایی شد که باعث جایگزینی ۹۹ آمین اسید آمینه یعنی سیستین به تریپوفان (C99W) در دنباله‌ی آمینواسیدی به شدت حفاظت شده می‌شود. ترانسفکشن ژن حامل جهش‌های F91S و C99W در سلول‌های COS-7 توانایی CIB2 را در کاهش رهاسازی کلسیم القا شده توسط Adenosine triphosphate (ATP) از سلول در مقایسه با نوع وحشی کاهش می‌دهد یا از بین می‌برد. در یک خانواده‌ی ترکیه‌ای با ARNSHL، یک جایگزینی C $c.368T>C$ هموزیگوت در ژن CIB2 شناسایی شد که باعث جایگزینی دنباله‌ی آمینواسیدی شماره‌ی ۱۲۳ یعنی ایزولوسین به ترئونین (I123T) در جایگاهی به شدت حفاظت شده در دامین اتصالی EF-hand دوم می‌شود. ترانسفکشن ژن حاوی جهش T1123CIB2 را در کاهش رهاسازی کلسیم القا شده توسط ATP از سلول، در مقایسه با نوع وحشی، افزایش می‌دهد. این یافته‌ها پیشنهاد می‌کند که جهش‌ها روی اتصال به کلسیم CIB2 یا فعالیت بافری آن تأثیر می‌گذارد و نشان می‌دهد که فقدان این ژن، موجب نقص در تنظیم کلسیم می‌شود (۱۳).

در یک خانواده‌ی خویشاوند بزرگ با سندرم آشر نوع IJ PKDF117 توسط Ahmed و همکاران به عنوان خانواده‌ی

References

1. Morton CC, Nance WE. Newborn hearing screening-a silent revolution. *N Engl J Med* 2006; 354(20): 2151-64.
2. Schrijver I. Hereditary non-syndromic sensorineural hearing loss: transforming silence to sound. *J Mol Diagn* 2004; 6(4): 275-84.
3. Van Laer L, Cryns K, Smith RJ, Van Camp G. Nonsyndromic hearing loss. *Ear Hear* 2003; 24(4): 275-88.
4. Brownstein Z, Avraham KB. Deafness genes in Israel: Implications for diagnostics in the clinic. *Pediatr Res* 2009; 66(2): 128-34.
5. Kochhar A, Hildebrand MS, Smith RJ. Clinical aspects of hereditary hearing loss. *Genet Med* 2007; 9(7): 393-408.
6. Morton NE. Genetic epidemiology of hearing impairment. *Ann N Y Acad Sci* 1991; 630: 16-31.
7. Imtiaz F, Taibah K, Ramzan K, Bin-Khamis G, Kennedy S, Al-Mubarak B, et al. A comprehensive introduction to the genetic basis of non-syndromic hearing loss in the Saudi Arabian population. *BMC Med Genet* 2011; 12: 91.
8. Saadat M, Ansari-Lari M, Farhud DD. Consanguineous marriage in Iran. *Ann Hum Biol* 2004; 31(2): 263-9.
9. Hashemzadeh Chaleshtori M, Farhud DD, Patton MA. Congratulation to margaret chan familial and sporadic GJB2-related deafness in Iran: Review of gene mutations. *Iran J Public Health* 2007; 36(1): 1-14.
10. Botstein D, White RL, Skolnick M, Davis RW. Construction of a genetic linkage map in man using restriction fragment length polymorphisms. *Am J Hum Genet* 1980; 32(3): 314-31.
11. Delmaghani S, Aghaei A, Compain-Nouaille S, Ataie A, Lemainque A, Zeinali S, et al. DFN40, a recessive form of sensorineural hearing loss, maps to chromosome 22q11.21-12.1. *Eur J Hum Genet* 2003; 11(10): 816-8.
12. Ahmad J, Khan SN, Khan SY, Ramzan K, Riazuddin S, Ahmed ZM, et al. DFN48, a new nonsyndromic recessive deafness locus, maps to chromosome 15q23-q25.1. *Hum Genet* 2005; 116(5): 407-12.
13. Riazuddin S, Belyantseva IA, Giese AP, Lee K, Indzhykulian AA, Nandamuri SP, et al. Alterations of the CIB2 calcium- and integrin-binding protein cause Usher syndrome type 1J and nonsyndromic deafness DFN48. *Nat Genet* 2012; 44(11): 1265-71.
14. Grimberg J, Nawoschik S, Belluscio L, McKee R, Turck A, Eisenberg A. A simple and efficient non-organic procedure for the isolation of genomic DNA from blood. *Nucleic Acids Res* 1989; 17(20): 8390.
15. Ott J. Computer-simulation methods in human linkage analysis. *Proc Natl Acad Sci USA* 1989; 86(11): 4175-8.
16. Tabatabaeifar MA, Alasti F, Shariati L, Farrokhi E, Fransen E, Nooridaloii MR, et al. DFN93, a novel locus for autosomal recessive moderate-to-severe hearing impairment. *Clin Genet* 2011; 79(6): 594-8.
17. Ahmed ZM, Riazuddin S, Khan SN, Friedman PL, Riazuddin S, Friedman TB. USH1H, a novel locus for type I Usher syndrome, maps to chromosome 15q22-23. *Clin Genet* 2009; 75(1): 86-91.

Genetic Linkage Analysis of DFNB40 and DFNB48 Loci in Families with Autosomal Recessive Non-Syndromic Hearing Loss (ARNSHL) from Western Provinces of Iran

Azam Pourahmadiyan¹, Mohammad Amin Tabatabaiefar², Somayeh Reiisi³, Paria Alipour¹, Najmeh Fattahi¹, Morteza Hashemzadeh-Chaleshtori⁴

Original Article

Abstract

Background: Sensorineural hearing loss (SNHL) is the most common sensory disorder and 1 in every 500-1000 newborns is affected. Non-syndromic SNHL accounts for 70% of hereditary hearing loss and 80% of SNHL cases have an autosomal recessive mode of inheritance (ARNSHL). The Purpose of the recent study is genetic linkage analysis to determine the prevalence of DFNB40 and DFNB48 loci in studying families with ARNSHL from the western provinces of Iran.

Methods: In this study, 60 families from 3 provinces of Iran involving Hamedan, Kohgiluyeh and Boyer-Ahmad and Chaharmahal and Bakhtiari with autosomal recessive non syndromic hearing loss were examined. The selected families in this study were consanguineous and had at least two patients. They also were negative for GJB2 mutations. Linkage analysis was performed by using 6 markers short tandem repeat (STR) for the DFNB40 locus and 7 markers STR for the DFNB48 locus.

Findings: After examining different families, it was revealed that none of them showed linkage to the DFNB40 and DFNB48 loci.

Conclusion: The recent study suggests that DFNB40 and DFNB48 loci might not play an important role in causing hearing loss in the mentioned provinces. However, further studies are necessary to determine more precisely the role of these loci in the Iranian population.

Keywords: DFNB40 locus, DFNB48 locus, Autosomal recessive non-syndromic hearing loss

Citation: Pourahmadiyan A, Tabatabaiefar MA, Reiisi S, Alipour P, Fattahi N, Hashemzadeh-Chaleshtori M. Genetic Linkage Analysis of DFNB40 and DFNB48 Loci in Families with Autosomal Recessive Non-Syndromic Hearing Loss (ARNSHL) from Western Provinces of Iran. J Isfahan Med Sch 2016; 34(374): 214-20

1- MS Student, Cellular and Molecular Research Center, Shahrekord University of Medical Sciences, Shahrekord, Iran

2- Assistant Professor, Department of Genetics and Molecular Biology, School of Medicine, Isfahan University of Medical Sciences, Isfahan, Iran

3- Assistant Professor, Department of Genetics, School of Science, Shahrekord University, Shahrekord, Iran

4- Professor, Cellular and Molecular Research Center, School of Medicine, Shahrekord University of Medical Sciences, Shahrekord, Iran

Corresponding Author: Morteza Hashemzadeh-Chaleshtori, Email: mchalesh@yahoo.com